

15. Гребенников В. Н. Расчет круглой плиты, загруженной равномерно распределенной нагрузкой и распределенными по контуру моментами, с учетом неполного контакта плиты с полупространством // Изв. вузов. Стр-во и архитектура.— 1972.— № 7.
16. Верлань А. Ф., Сизиков В. С. Интегральные уравнения: методы, алгоритмы, программы: Справочное пособие.— Киев: Наук. думка, 1986.

Поступила 19/XI 1987 г.

УДК 539.376

## О ДВУОСНОМ РАСТЯЖЕНИИ ТОЛСТОЙ ПЛАСТИНЫ С ЭЛЛИПТИЧЕСКИМ ОТВЕРСТИЕМ ИЗ СТАРЕЮЩЕГО УПРУГОПЛАСТИЧЕСКОГО МАТЕРИАЛА

*Ф. Б. Милявская*

(Чебоксары)

В [1] введена модель стареющего вязкопластического материала. При этом предел текучести — интегральный оператор. В настоящей работе на основе модели [1] рассматривается развитие пластической зоны при двуосном растяжении пластины с эллиптическим отверстием из стареющего материала. Модель материала в упругоползучей зоне принята согласно [2, 3].

Методом малого параметра [4] получены два приближения для распределения напряжений, определена граница пластической зоны. Приводится численное решение задачи. Аналогичная задача для идеально упругопластического тела рассмотрена в [4].

Соотношения теории наследственно стареющего пластического тела — уравнения равновесия, условия несжимаемости и изотропии, условие наследственной пластичности — для плоской деформации имеют вид [1, 4]

$$(0.1) \quad \frac{\partial \sigma_x(t)}{\partial x} + \frac{\partial \tau_{xy}(t)}{\partial y} = 0, \quad \frac{\partial \tau_{xy}(t)}{\partial x} + \frac{\partial \sigma_y(t)}{\partial y} = 0;$$

$$(0.2) \quad \varepsilon_x + \varepsilon_y = 0, \quad \frac{\varepsilon_x - \varepsilon_y}{\sigma_x(t) - \sigma_y(t)} = \frac{\varepsilon_{xy}}{\tau_{xy}(t)};$$

$$(0.3) \quad \frac{1}{4} \left( \frac{\sigma_x(t) - \sigma_y(t)}{k(t)} + \int_{t_0}^t (\sigma_x(\tau) - \sigma_y(\tau)) K^*(\tau, t) d\tau \right)^2 + \\ + \left( \frac{\tau_{xy}(t)}{k(t)} + \int_{t_0}^t \tau_{xy}(\tau) K^*(\tau, t) d\tau \right)^2 = 1.$$

Здесь  $\sigma_x(t)$ ,  $\sigma_y(t)$ ,  $\tau_{xy}(t)$  — компоненты напряжений, зависящие от времени;  $\varepsilon_x$ ,  $\varepsilon_y$ ,  $\varepsilon_{xy}$  — компоненты скорости пластической деформации;  $k(t)$  — переменный во времени предел текучести;  $K^*(\tau, t)$  — ядро наследственного оператора.

1. Рассмотрим бесконечную плоскость с эллиптическим отверстием с полуосьями  $a(1+c)$ ,  $a(1-c)$ , растягиваемую на бесконечности взаимно перпендикулярными усилиями  $p_1(t)$  и  $p_2(t)$ ; на контуре отверстия действует нормальное давление  $p_0(t)$ . Положим

$$(1.1) \quad c = d_1 \delta, \quad (p_1(t) - p_2(t))/2 = d_2 \delta,$$

где  $\delta$ ,  $d_1$ ,  $d_2$  — постоянные, принимающие значения в пределах

$$(1.2) \quad 0 \leq \delta \leq 1, \quad 0 \leq d_i \leq 1 \quad (i = 1, 2).$$

Очевидно, при  $d_1 = 0$ ,  $d_2 = 1$  наблюдается двуосное растяжение толстой пластины с круговым отверстием [5], при  $d_1 = 1$ ,  $d_2 = 0$  имеет место пластина с эллиптическим отверстием под действием нормального давления.

Перейдем к безразмерным параметрам и переменным, оставив прежние обозначения. Предел текучести при  $t \rightarrow \infty$  обозначим  $k_\infty$  и все величи-

ны, имеющие размерность напряжения, отнесем к  $k_\infty$ , а имеющие размерность длины — к  $\rho_s^{(0)}(t)$  (радиусу пластической зоны в нулевом приближении).

В принятых обозначениях уравнение эллипса в прямоугольных декартовых координатах имеет вид

$$(1.3) \quad x^2/[a^2(1+c)^2] + y^2/[a^2(1-c)^2] = 1.$$

Пусть  $\rho_* = \rho_*(\theta)$  — уравнение отверстия в полярных координатах. Переходя к полярным координатам  $x = \rho_* \cos \theta$ ,  $y = \rho_* \sin \theta$ , преобразуем уравнение (1.3):

$$(1.4) \quad \rho_*(\theta) = \frac{a(1-(\delta d_1)^2)}{\sqrt{1-2\delta d_1 \cos 2\theta + (\delta d_1)^2}}.$$

Из выражения (1.4) запишем для  $\rho_*(\theta)$  два приближения по параметру  $\delta$ :

$$(1.5) \quad \rho_*(\theta) = a + ad_1 \delta \cos 2\theta - \frac{3}{4}ad^2 d_1^2 (1 - \cos 4\theta) + \dots$$

Предположим, что внутренний контур охвачен пластической зоной. Определим компоненты напряжений в пластической и ползучей зонах и радиус пластической зоны  $\rho_s^{(I)}(t)$  в первом приближении:

$$(1.6) \quad \sigma_\rho^{(I)p} + \frac{\partial \sigma_\rho^{(0)p}}{\partial \rho} \rho_*^{(I)} = \frac{\partial p_v}{\partial \rho} \rho_*^{(I)}, \quad \tau_{\rho\theta}^{(I)p} - (\sigma_\theta^{(0)p} - \sigma_\rho^{(0)p}) \dot{R}_1 = \frac{\partial p_\tau}{\partial \rho} \rho_*^{(I)},$$

где  $\sigma_\rho^{(n)}$ ,  $\sigma_\theta^{(n)}$ ,  $\tau_{\rho\theta}^{(n)}$  — компоненты напряжений;  $n$  — номер приближения;

$$(1.7) \quad R_1 = \frac{\rho_*^{(I)}}{\rho_*^{(0)}}, \quad \dot{R}_1 = \frac{\partial \rho_*^{(I)}}{\partial \theta}$$

(согласно (1.5),  $\rho_*^{(0)} = a$ ,  $\rho_*^{(I)} = ad_1 \cos 2\theta$ ).

В уравнениях (1.6) для рассматриваемой задачи правые части обращаются в нуль, так как  $p_v = p_0(t)$  не зависит от  $\rho$ , а  $p_\tau = 0$ . Выражения для  $\sigma_\rho^{(0)p}$  и  $\sigma_\theta^{(0)p}$  получены в [5]:

$$(1.8) \quad \begin{aligned} \sigma_\rho^{(0)p} &= 2k(t)\varphi(t) \ln \frac{\rho}{a} - p_0(t), \quad \tau_{\rho\theta}^{(0)p} = 0, \\ \sigma_\theta^{(0)p} &= 2k(t)\varphi(t) \left( \ln \frac{\rho}{a} + 1 \right) - p_0(t). \end{aligned}$$

Здесь и ниже индекс  $p$  взят для обозначения пластической зоны, а  $e$  — для упругоползучей;  $\varphi(t)$  — функция от времени [5].

Условие (0.3) для первого приближения имеет вид [5]

$$(1.9) \quad \sigma_\rho^{(I)p} = \sigma_\theta^{(I)p} = 0.$$

Таким образом, граничные условия (1.6) на границе  $\rho_* = a$  с учетом (1.7) — (1.9) следующие:

$$(1.10) \quad \begin{aligned} \sigma_\rho^{(I)p} &= -2d_1 k(t) \varphi(t) \cos 2\theta, \quad \sigma_\theta^{(I)p} = \sigma_\rho^{(I)p}, \\ \tau_{\rho\theta}^{(I)p} &= -4d_1 k(t) \varphi(t) \sin 2\theta. \end{aligned}$$

Запишем уравнение (0.1) в полярной системе координат:

$$(1.11) \quad \frac{\partial \sigma_\rho}{\partial \rho} + \frac{\sigma_\rho - \sigma_\theta}{\rho} + \frac{1}{\rho} \frac{\partial \tau_{\rho\theta}}{\partial \theta} = 0, \quad \frac{1}{\rho} \frac{\partial \sigma_\theta}{\partial \theta} + \frac{\partial \tau_{\rho\theta}}{\partial \rho} + \frac{2\tau_{\rho\theta}}{\rho} = 0.$$

Решая дифференциальные уравнения (1.11), с учетом (1.9) и (1.10) получим выражения для напряжений в пластической зоне в первом приближении:

$$(1.12) \quad \begin{aligned} \sigma_\rho^{(I)p} &= \frac{2ad_1}{\rho} \varphi(t) k(t) (\sqrt{3} \sin \chi - \cos \chi) \cos 2\theta, \quad \sigma_\theta^{(I)p} = \sigma_\rho^{(I)p}, \\ \tau_{\rho\theta}^{(I)p} &= \frac{4ad_1}{\rho} \varphi(t) k(t) \cos \chi \sin 2\theta \quad \left( \chi = \sqrt{3} \ln \frac{\rho}{a} \right). \end{aligned}$$

Далее рассмотрим зону ползучести при граничных условиях на бесконечности в полярной системе координат:

$$(1.13) \quad \sigma_{\rho}^{(\infty)e} = p(t) - \delta d_2 \cos 2\theta, \quad \sigma_{\theta}^{(\infty)e} = p(t) + \delta d_2 \cos 2\theta, \\ \tau_{\rho\theta}^{(\infty)e} = \delta d_2 \sin 2\theta, \quad p(t) = \frac{1}{2}(p_1(t) + p_2(t)).$$

Из (1.13) для первого приближения

$$(1.14) \quad \sigma_{\rho(\infty)}^{(I)e} = -d_2 \cos 2\theta, \quad \sigma_{\theta(\infty)}^{(I)e} = d_2 \cos 2\theta, \quad \tau_{\rho\theta(\infty)}^{(I)e} = d_2 \sin 2\theta,$$

а для последующих приближений

$$(1.15) \quad \sigma_{\theta(\infty)}^{(n)e} = \sigma_{\rho(\infty)}^{(n)e} = 0, \quad \tau_{\rho\theta(\infty)}^{(n)e} = 0 \quad (n \geq 2).$$

Распределение напряжений и граница пластической зоны в нулевом приближении соответствуют осесимметричному состоянию плоскости с круговым отверстием [5]:

$$(1.16) \quad \sigma_{\rho}^{(0)e} = p(t) - \frac{\varphi(t) k(t)}{\rho}, \quad \sigma_{\theta}^{(0)e} = p(t) + \frac{\varphi(t) k(t)}{\rho}, \\ \tau_{\rho\theta}^{(0)e} = 0, \quad \rho_s^{(0)}(t) = \exp \gamma, \quad \gamma = \frac{1}{2} \left( \frac{p(t)}{\varphi(t) k(t)} - 1 \right).$$

Выпишем условия сопряжения решений для  $\sigma_{\rho}^{(n)}$  на границе  $\rho = 1$ :

$$(1.17) \quad \left[ \sigma_{\rho}^{(I)} + \frac{\partial \sigma_{\rho}^{(n)}}{\partial \rho} \rho_s^{(I)} \right] = 0 \quad (n = I), \\ \left[ \sigma_{\rho}^{(II)} + \frac{\partial \sigma_{\rho}^{(I)}}{\partial \rho} \rho_s^{(I)} + \frac{\partial^2 \sigma_{\rho}^{(0)}}{\partial \rho^2} \frac{(\rho_s^{(I)})^2}{2} + \frac{\partial \sigma_{\rho}^{(0)}}{\partial \rho} \rho_s^{(II)} \right] = 0 \quad (n = II).$$

Условия сопряжения для компонент  $\sigma_{\theta}^{(n)}$  и  $\tau_{\rho\theta}^{(n)}$  имеют аналогичный вид [4]. Из условий (1.17) с учетом (1.8) и (1.16) получим граничные условия для  $\rho = 1$ :

$$(1.18) \quad \sigma_{\theta}^{(I)e} = 2ad_1 \varphi(t) k(t) (\sqrt{3} \sin \chi^* - \cos \chi^*) \cos 2\theta + 4\varphi(t) k(t) \rho_s^{(I)}, \\ \tau_{\rho\theta}^{(I)e} = -4ad_1 \varphi(t) k(t) \sin 2\theta \quad \left( \chi^* = \sqrt{3} \ln \frac{\rho_s^{(0)}(t)}{a} \right).$$

Для несжимаемого упругоползучего материала решение задачи тождественно совпадает с решением для упругого тела [2]. Согласно [6], с учетом граничных условий (1.14), (1.18) находим распределение напряжений и радиус пластической зоны в первом приближении:

$$(1.19) \quad \sigma_{\rho}^{(I)e} = \cos 2\theta \left[ \left( \frac{4}{\rho^2} - \frac{3}{\rho^4} - 1 \right) d_2 + 2\sqrt{3} ad_1 \varphi k \sin \chi^* \left( \frac{2}{\rho^2} - \frac{1}{\rho^4} \right) + \right. \\ \left. + 2ad_1 \varphi k \cos \chi^* \left( \frac{2}{\rho^2} - \frac{3}{\rho^4} \right) \right], \\ \sigma_{\theta}^{(I)e} = \cos 2\theta \left[ \left( 1 + \frac{3}{\rho^4} \right) d_2 + \frac{2ad_1 \varphi k}{\rho^4} (\sqrt{3} \sin \chi^* + 3 \cos \chi^*) \right], \\ \tau_{\rho\theta}^{(I)e} = \sin 2\theta \left[ \left( 1 + \frac{2}{\rho^2} - \frac{3}{\rho^4} \right) d_2 + ad_1 \varphi k \cos \chi^* \left( \frac{6}{\rho^2} - \frac{10}{\rho^4} \right) + \right. \\ \left. + 2\sqrt{3} ad_1 \varphi k \sin \chi^* \left( \frac{1}{\rho^2} - \frac{1}{\rho^4} \right) \right], \\ \rho_s^{(I)} = \left( \frac{d_2 \rho_s^{(0)}(t)}{\varphi(t) k(t)} + 2d_1 \cos \chi^* \right) \cos 2\theta.$$

2. Уравнения равновесия в полярной системе координат имеют вид (1.11). Запишем условие пластичности (0.3) во втором приближении [5],

приняв нижний предел интегрирования  $t_0 = 0$ :

$$(2.4) \quad \frac{\sigma_{\rho}^{(II)p}(t) - \sigma_{\theta}^{(II)p}(t)}{k(t)} + \int_0^t 2K^*(\tau, t) (\sigma_{\rho}^{(II)p}(\tau) - \sigma_{\theta}^{(II)p}(\tau)) d\tau - \\ - \left( \frac{\tau_{\rho\theta}^{(I)p}(t)}{k(t)} + \int_0^t K^*(\tau, t) \tau_{\rho\theta}^{(I)p}(\tau) d\tau \right)^2 = 0.$$

Согласно линеаризованным граничным условиям во втором приближении [4], с учетом формул (1.7) — (1.9), (1.12) получим граничные условия на границе  $\rho = a$ :

$$(2.2) \quad \sigma_{\rho}^{(II)p} = d_1 \varphi k (2 - 9 \cos 4\theta), \quad \tau_{\rho\theta}^{(II)p} = -6d_1^2 \varphi k \sin 4\theta.$$

Условие пластиичности (2.1) с учетом (1.12) имеет вид

$$(2.3) \quad f_1(t, \rho, \theta) + \int_0^t K_1(\tau, t) f_1(\tau, \rho, \theta) d\tau = F^*(\rho, \theta) F(t),$$

$$\text{где } f_1(t, \rho, \theta) = \frac{\sigma_{\rho}^{(II)p}(t, \rho, \theta) - \sigma_{\theta}^{(II)p}(t, \rho, \theta)}{k(t)},$$

$$K_1(\tau, t) = 2K^*(\tau, t) k(\tau); \quad F^*(\rho, \theta) = \left( \frac{4ad}{\rho} \cos \chi \sin 2\theta \right)^2;$$

$$F(t) = \left( \varphi(t) + \int_0^t K^*(\tau, t) \varphi(\tau) d\tau \right)^2.$$

Уравнение (2.3) есть интегральное уравнение Вольтерра II рода ( $\rho$  и  $\theta$  — параметры), его обращение [7]:

$$(2.4) \quad f_1(t, \rho, \theta) = F^*(\rho, \theta) F(t) - \lambda \int_0^t F^*(\rho, \theta) \Gamma(t, \tau, \lambda) F(\tau) d\tau$$

$\left. \begin{array}{l} \Gamma(t, \tau, \lambda) = \sum_{v=0}^{\infty} \lambda^v K_{v+1} \text{ — резольвентное ядро, а } \lambda = -1 \end{array} \right\}. \quad \text{Уравнениям}$

равновесия удовлетворим, полагая

$$(2.5) \quad \sigma_{\rho}^{(II)p} = \frac{1}{\rho} \frac{\partial \Phi^{(II)}}{\partial \rho} + \frac{1}{\rho^2} \frac{\partial^2 \Phi^{(II)}}{\partial \theta^2},$$

$$\sigma_{\theta}^{(II)p} = \frac{\partial^2 \Phi^{(II)}}{\partial \rho^2}, \quad \tau_{\rho\theta}^{(II)p} = -\frac{1}{\rho} \frac{\partial^2 \Phi^{(II)}}{\partial \rho \partial \theta} + \frac{1}{\rho^2} \frac{\partial^2 \Phi^{(II)}}{\partial \theta^2}.$$

Подставив (2.5) в (2.3), с учетом (2.4) находим дифференциальное уравнение для определения функции напряжений  $\Phi^{(II)}$ :

$$(2.6) \quad \rho^2 \frac{\partial^2 \Phi^{(II)}}{\partial \rho^2} - \rho \frac{\partial^2 \Phi^{(II)}}{\partial \rho^2} - \frac{\partial^2 \Phi^{(II)}}{\partial \theta^2} = -k(t) f_1(t, \rho, \theta).$$

Решив уравнение (2.6) с граничными условиями (2.2), из выражений (2.5) имеем компоненты напряжений в пластической зоне во втором приближении:

$$(2.7) \quad \sigma_{\rho}^{(II)p} = d_1^2 k \left( 2\varphi - \frac{5}{2}\psi \right) + \frac{ad_1^2 k}{\rho} \cos 4\theta \left[ \left( \frac{19}{2}\psi - 9\varphi \right) \cos \gamma - \right. \\ \left. - \sqrt{15} \left( \frac{3}{2}\psi - \varphi \right) \sin \gamma \right] + \frac{a^2 d_1^2 k \psi}{2\rho^2} \left[ (4 - \sqrt{3} \sin 2\chi + \cos 2\chi) - \right. \\ \left. - \cos 4\theta (8 + 11 \cos 2\chi - 7\sqrt{3} \sin 2\chi) \right],$$

$$\begin{aligned}\sigma_{\theta}^{(II)p} &= d_1^2 k \left( 2\varphi - \frac{5}{2} \psi \right) + \frac{ad_1^2 k}{\rho} \cos 4\theta \left[ \left( \frac{19}{2} \psi - 9\varphi \right) \cos \gamma - \right. \\ &\quad \left. - \sqrt{15} \left( \frac{3}{2} \psi - \varphi \right) \sin \gamma \right] - \frac{ad_1^2 k \psi}{2\rho^2} (4 + 7 \cos 2\chi + \sqrt{3} \sin 2\chi) - \\ &\quad - \frac{a^2 d_1^2 k \psi}{2\rho^2} \cos 4\theta (3 \cos 2\chi - 7 \sqrt{3} \sin 2\chi), \\ \tau_{\rho\theta}^{(II)p} &= \frac{2ad_1^2 k}{\rho} \sin 4\theta [(4\psi - 3\varphi) \cos \gamma + \sqrt{15} (\psi - \varphi) \sin \gamma] - \\ &\quad - \frac{a^2 d_1^2 k \psi}{\rho^2} \sin 4\theta (1 + 7 \cos 2\chi + \sqrt{3} \sin 2\chi).\end{aligned}$$

Здесь  $\psi(t)$  — решение интегрального уравнения

$$\psi(t) = F(t) - \lambda \int_0^t K_1(t, \tau) \psi(\tau) d\tau; \quad k = k(t); \quad \varphi = \varphi(t); \quad \gamma = \sqrt{15} \ln(\rho/a).$$

Из условий сопряжения (1.17) (вторая формула) с учетом (1.8), (1.12), (1.19), (2.7) получим граничные условия при  $\rho = 1$ :

$$(2.8) \quad \sigma_{\rho}^{(II)e} = A + B \cos 4\theta, \quad \tau_{\rho\theta}^{(II)e} = D \sin 4\theta,$$

$$\begin{aligned}\text{где } A &= d_1^2 k \left[ \left( 2\varphi - \frac{5}{2} \psi \right) + \frac{a^2 \psi}{2} (4 - \sqrt{3} \sin 2\chi^* + \cos 2\psi^*) \right] - k\varphi \left( \frac{d_2}{k\varphi} + \right. \\ &\quad \left. + 2ad_1 \cos \chi^* \right)^2; \\ B &= ad_1^2 k \left[ \left( \frac{19}{2} \psi - 9\varphi \right) \cos \gamma^* - \sqrt{15} \left( \frac{3}{2} \psi - \varphi \right) \sin \gamma^* \right] - \\ &\quad - \frac{1}{2} \psi a^2 (8 + 11 \cos 2\chi^* - 7 \sqrt{3} \sin 2\chi^*) - k\varphi \left( \frac{d_2}{k\varphi} + 2ad_1 \cos \chi^* \right)^2; \\ D &= 2ad_1^2 k \left[ (4\psi - 3\varphi) \cos \gamma^* + \sqrt{15} (\psi - \varphi) \sin \gamma^* \right] - a^2 d_1^2 k \psi (1 + 7 \cos 2\chi^* + \\ &\quad + \sqrt{3} \sin 2\chi^*) - 4 \left( \frac{d_2}{k\varphi} + 2ad_1 \cos \chi^* \right) (d_2 + 3ad_1 k\varphi \cos \chi^*); \\ \gamma^* &= \sqrt{15} \ln \frac{\rho_s^{(0)}(t)}{a}.\end{aligned}$$

Из условий (2.8), согласно [6], находим компоненты напряжений, а затем радиус пластической зоны во втором приближении:

$$\begin{aligned}(2.9) \quad \sigma_{\rho}^{(II)e} &= \frac{A}{\rho^2} + \cos 4\theta \left[ B \left( \frac{3}{\rho^4} - \frac{2}{\rho^6} \right) + 3D \left( \frac{1}{\rho^6} - \frac{1}{\rho^4} \right) \right], \\ \sigma_{\theta}^{(II)e} &= -\frac{A}{\rho^2} + \cos 4\theta \left[ B \left( \frac{2}{\rho^6} - \frac{1}{\rho^4} \right) + D \left( \frac{1}{\rho^4} - \frac{3}{\rho^6} \right) \right], \\ \tau_{\rho\theta}^{(II)e} &= \sin 4\theta \left[ 2B \left( \frac{1}{\rho^4} - \frac{1}{\rho^6} \right) + D \left( \frac{3}{\rho^6} - \frac{2}{\rho^4} \right) \right], \\ v_s^{(II)} &= \frac{1}{4k\varphi} (M \cos 4\theta + N).\end{aligned}$$

Здесь  $M = \frac{a^2 d_1^2 k}{2} [(17\psi + 20\varphi) \cos 2\chi^* + (11\psi - 20\varphi) \sqrt{3} \sin 2\chi^* + 4(5\varphi - \psi)] - 4ad_1^2 k [(4\psi - 3\varphi) \cos \gamma^* + \sqrt{15} (\psi - \varphi) \sin \gamma^*] + \frac{d_2}{k\varphi} (3d_2 + 16ad_1 k\varphi \cos \chi^* - 4\sqrt{3} ad_1 k\varphi \sin \chi^*);$

$$\begin{aligned}N &= d_1^2 k (5\psi - 4\varphi) - a^2 d_1^2 k (10\varphi - 3\psi) \cos 2\chi^* - \sqrt{3} a^2 d_1^2 k (4\varphi - \psi) \sin 2\chi^* - \\ &\quad - 10a^2 d_1^2 k \varphi - \frac{3d_2^2}{k\varphi} - 4ad_1 d_2 (4 \cos \chi^* - \sqrt{3} \sin \chi^*).\end{aligned}$$

3. Из формул (1.16), (1.19), (2.9) запишем выражение для радиуса пластической зоны

$$(3.1) \quad \rho_s(t) = \exp \gamma + \delta \left( \frac{d_2}{k\varphi} \exp \gamma + 2d_1 \cos \chi^* \right) \cos 2\theta + \frac{\delta^2}{4k\varphi} (M \cos 4\theta + N).$$

Пусть

$$k(t) = \frac{1 - \beta \exp(-\alpha t)}{1 - \beta}, \quad K^*(\tau) = \frac{\alpha \beta (1 - \beta) \exp(-\alpha \tau)}{(1 - \beta \exp(-\alpha \tau))^2},$$

$$\varphi(t) = \frac{(1 - \beta \exp(-\alpha t))^2}{(1 - \beta)^2}, \quad p_0(t) = 0,$$

$$p_1(t) = 5 - 3 \exp(-0,1t), \quad p_2(t) = 4,6 - 3 \exp(-0,1t),$$

$$\delta = 0,2, \alpha = 0,1, \beta = 0,2, d_1 = d_2 = 1.$$

Анализ выражения (3.1) показывает, что отсутствие релаксации имеет место, если  $\gamma(t)$  — возрастающая функция. На рис. 1 изображены контур отверстия (кривая  $a$ ) и граница пластической зоны в различные моменты времени, линии  $0 - 6$  — положение границы в моменты времени с интервалом в единицу начиная с момента включения нагрузки, 7 — при  $t \rightarrow \infty$ . На рис. 2 дано изменение  $\rho_s(t)$  в зависимости от времени для трех направлений ( $\theta = 0, \theta = \pi/4, \theta = \pi/2$  — линии 1—3), время изменяется с момента включения нагрузки до бесконечности.

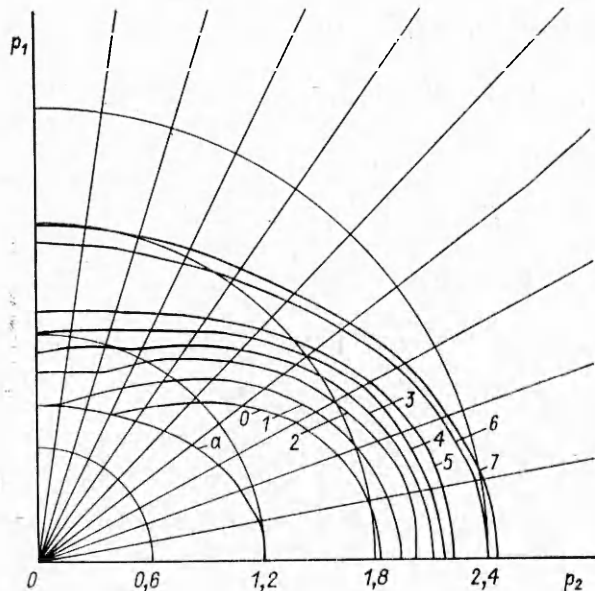


Рис. 1

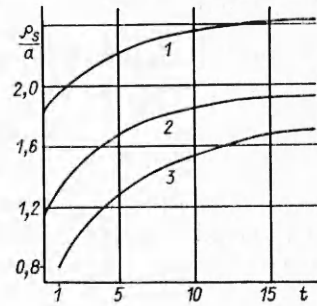


Рис. 2

#### ЛИТЕРАТУРА

1. Арутюян Н. Х., Ивлев Д. Д. К теории вязкоупругости неоднородно-стареющих тел // Изв. АН АрмССР. Механика.— 1982.— Т. 35, № 5.
2. Арутюян Н. Х. Некоторые вопросы теории ползучести.— М.; Л.: Гостехиздат, 1952.
3. Арутюян Н. Х., Колманинский В. Б. Теория ползучести неоднородных тел.— М.: Наука, 1983.
4. Ивлев Д. Д., Ершов Л. В. Метод возмущений в теории упругопластического тела.— М.: Наука, 1978.
5. Милианская Ф. Б. Двухосное растяжение пластины с круговым отверстием из стареющего упругопластического материала // Краевые задачи и их приложения.— Чебоксары: Чуваш. ун-т, 1986.
6. Биценко К. Б., Граммель Р. Техническая динамика.— Л.: Гостехиздат, 1950.— Т. 1.
7. Михлин С. Г. Лекции по линейным интегральным уравнениям.— М.: Физматгиз, 1959.

Поступила 14/IX 1987 г.